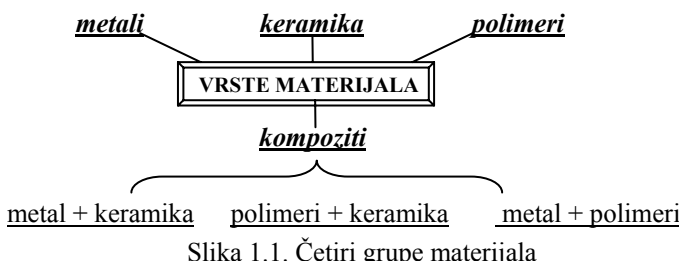


1. PODELA MATERIJALA



Slika 1.1. Četiri grupe materijala

Metalni materijali

Keramički materijali

Polimeri

Kompozitni materijali

Tabela 1.1: Osnovne karakteristike glavnih grupa materijala

Osobine	Metali	Keramika	Polimeri
Gustina, g/cm ³	2 – 20	1 - 14	1 – 2.5
Električna provodljivost	visoka	niska	niska
Toplotna provodljivost	visoka	niska	niska
Duktilnost	visoka	niska	zadovoljavajuća
Zatezna čvrstoća, MPa	100 – 1500	100 – 400	-
Pritisna čvrstoća, MPa	100 – 1500	1000 – 5000	-
Žilavost loma, MNm ^{-3/2}	10 – 30	1 – 10	2 – 8
Max. radna temperatura, °C	1000	1800	250
Otpornost prema koroziji	niska	superiorna	srednja
Vrsta veze	metalna	jonska - kovalentna	kovalentna
Struktura	kristalna	kompleksna kristalna	amorfna

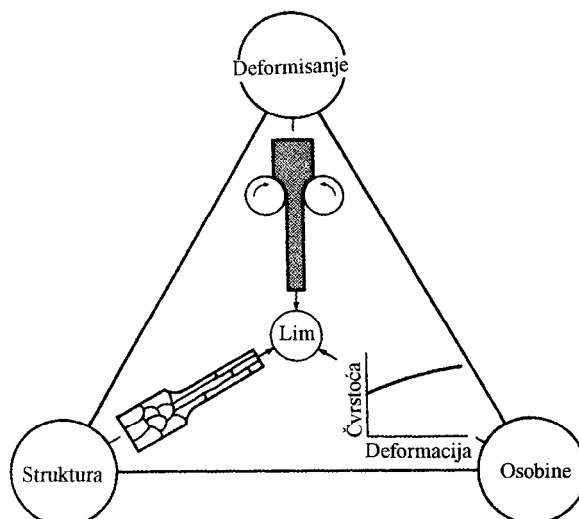
inženjerski materijali

mašinski materijali

konstrukcionici materijali

pomoći materijali

pogonski materijali



Slika 1.2. Veza između strukture, svojstava i deformisanja materijala

2. OSNOVNA SVOJSTVA MATERIJALA

2.1. FIZIČKA SVOJSTVA MATERIJALA

Temperatura topljenja/kristalizacije

omekšavanje

električna provodljivost

magnetna svojstva

Dijamagnetizam

Paramagnetizam

Feromagnetski materijali

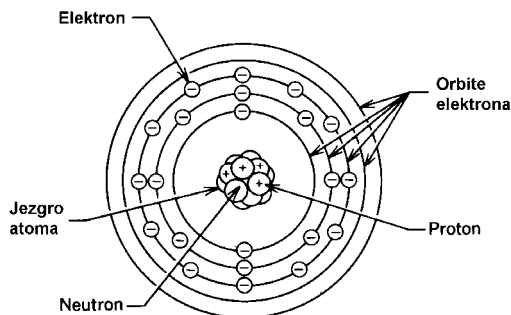
2.2. MEHANIČKA SVOJSTVA

- *Čvrstoća*
- *Tvrdota*
- *Elastičnost*
- *Plastičnost*
- *Žilavost*

Tabela 2.1: Fizička i mehanička svojstva nekih metala

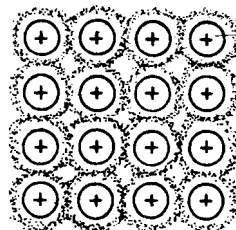
simbol elementa	gustina ρ g/cm ³	temperatura topljenja T, °C	koefficijent linearnog širenja $\alpha \times 10^{-6}$	specifična električna provodnost γ , MSm/m ²	tvrdoća po Brinelu HB	R _m , MPa	E, GPa	zatezna čvrstoća modul elastičnosti procentualno izduženje δ , %
Al	2,7	660	24,0	37,0	300	100	80	40
W	19,3	3370	4,0	18,1	1600	1100	400	-
Fe	7,87	1539	11,9	11,0	500	300	210	21-55
Co	8,9	1490	12,08	10,2	1250	700	200	3
Mg	1,74	651	25,7	23,0	250	200	45	15
Mn	7,44	1242	23,0	22,7	200	krt	krt	krt
Cu	8,94	1083	16,42	64,0	350	220	120	60
Ni	8,9	1452	13,7	8,5	600	450	220	40
Sn	7,3	232	22,4	8,5	80	300	40	40
Pb	11,34	327	29,5	4,9	50	18	12	50
Ti	4,5	1812	7,14	-	-	40	120	20-28
Cr	7,1	1550	8,1	38,4	1000	krt	krt	krt
Zn	7,14	419	32,6	17,4	350	150	100	5-20

2.3. HEMIJSKA SVOJSTVA MATERIJALA



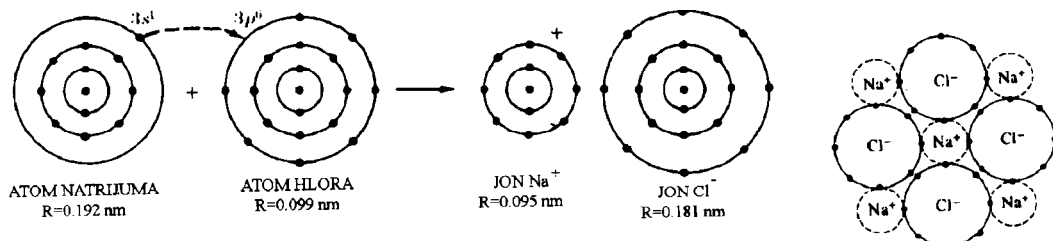
Slika 2.1. Šematski prikaz atoma

Metalna veza



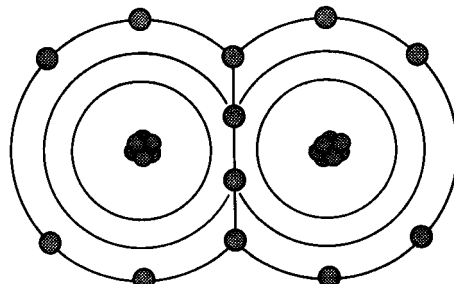
Slika 2.2. Metalna veza

Jonska veza



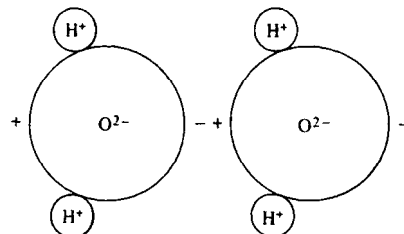
Slika 2.3. Jonska veza

Kovalentna veza



Slika 2.4. Kovalentna veza - kiseonika (O_2)

Van der Valsova veza

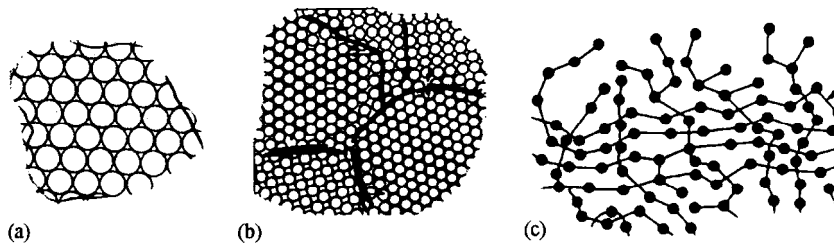


Slika 2.5. Van der Valsova veza - molekuli vode

IZBOR MATERIJALA

3. KRISTALNA STRUKTURA I GEOMETRIJA ELEMENTARNIH KRISTALNIH REŠETKI

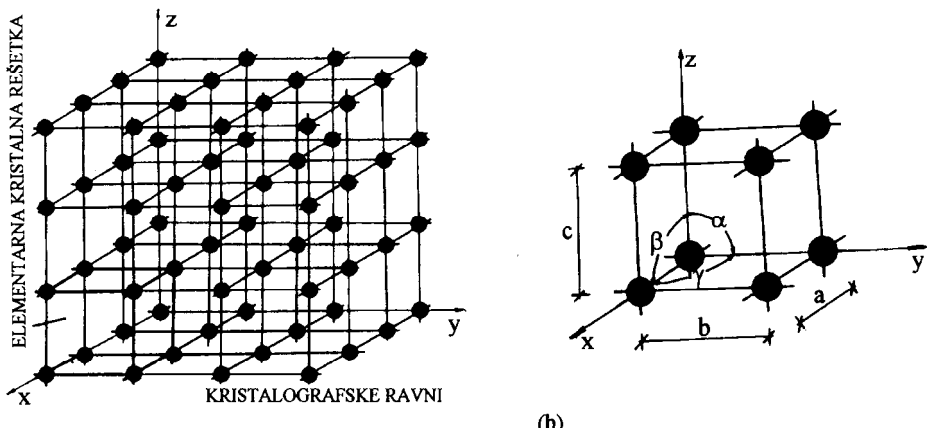
kristalna struktura, monokristal, polikristal, kvazi izotropnost, amorfna struktura



Slika 3.1. Struktura čvrstih materijala: (a) monokristal; (b) polikristal; (c) amorfni

Kristalna struktura

kristalografske ravni, kristalna rešetka, elementarna kristalna rešetka, parametri elementarne kristalne rešetke



Slika 3.2 (a) Prostorna kristalna rešetka idealnog kristalnog tela; (b) Parametri elementarne kristalne rešetke

Kristalni sistemi

Tabela 3.1. Podela kristalnih rešetki po kristalnim sistemima

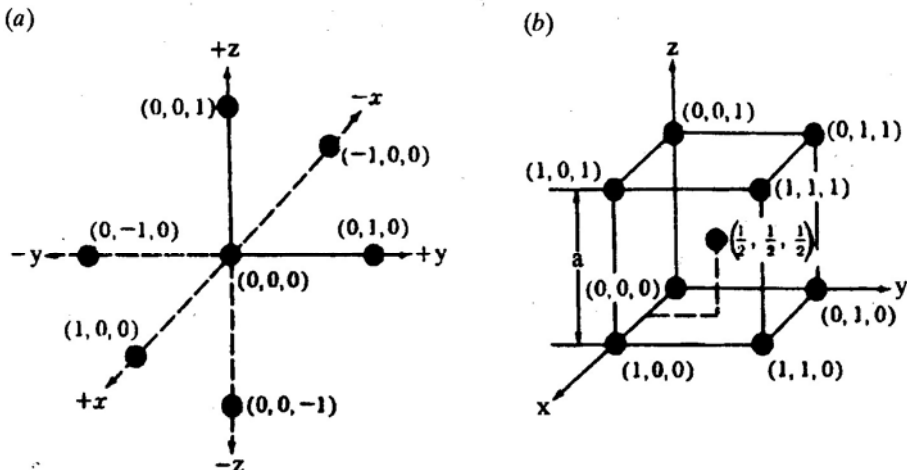
Kristalni sistem	Parametri rešetke	Prostorna rešetka
kubni	$a=b=c$ $\alpha=\beta=\gamma=90^\circ$	prosta kubna prostorno-centrirana površinski-centrirana
tetragonalni	$a=b\neq c$ $\alpha=\beta=\gamma=90^\circ$	prosta tetragonalna prostorno-centrirana
ortorombični	$a\neq b\neq c$ $\alpha=\beta=\gamma=90^\circ$	prosta ortorombična prostorno-centrirana površinski-centrirana bazno-centrirana
romboedarski	$a=b=c$ $\alpha=\beta=\gamma\neq 90^\circ$	prosta romboedarska
heksagonalni	$a=b\neq c$ $\alpha=\beta=90^\circ$ $\gamma=120^\circ$	prosta heksagonalna
monoklinični	$a\neq b\neq c$ $\alpha=\gamma=90^\circ \neq \beta$	prosta monoklinična bazno-centrirana
triklinični	$a\neq b\neq c$ $\alpha\neq\beta\neq\gamma\neq 90^\circ$	prosta triklinična

3.1 GEOMETRIJA ELEMENTARNIH KRISTALNIH REŠETKI

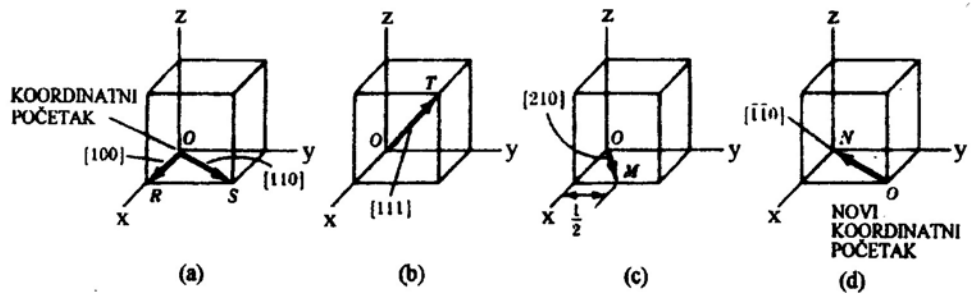
3.1.1. Položaj atoma u kubnoj elementarnoj kristalnoj rešetki

3.1.2 Pravci kod kubne elementarne kristalne rešetke

kristalografski indeksi pravaca

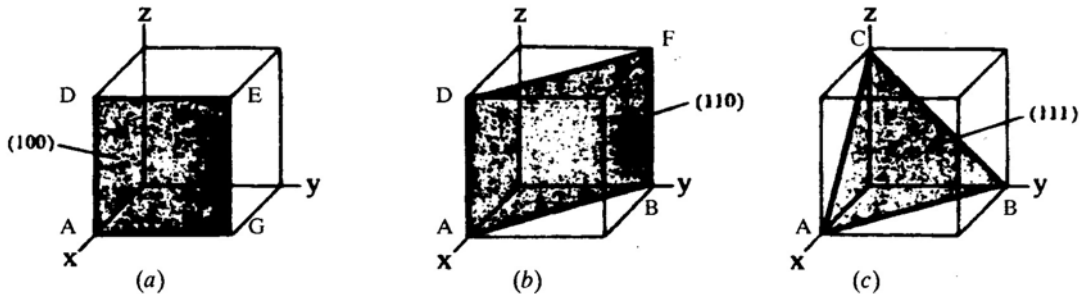


Slika 3.2.1 (a) Dekartov koordinatni sistem za određivanje položaja atoma u elementarnoj rešetki; (b) Položaj atoma kod prostorno-centrirane rešetke.



Slika 3.2.2 Pravci kod kubne elementarne kristalne rešetke
kristalografski ekvivalentni pravci, familija pravaca

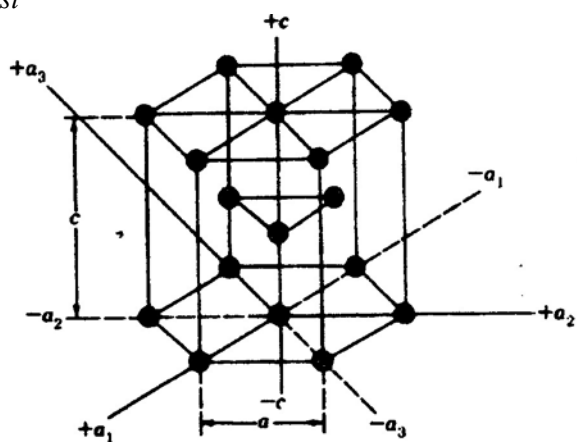
3.1.3 Kristalografske ravni kubne elementarne kristalne rešetke. Millerovi indeksi



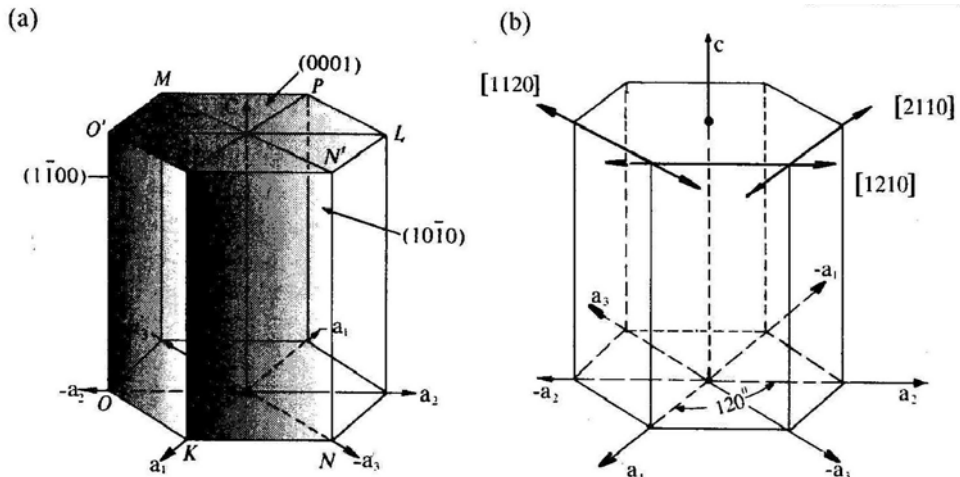
Slika 3.2.3 Millerovi indeksi za neke važnije ravni kubne kristalne rešetke
kristalografski ekvivalentne ravni, familija ravni

3.1.4 Kristalografske ravni i pravci kod heksagonalne kristalne rešetke

Miller-Braveovi indeksi



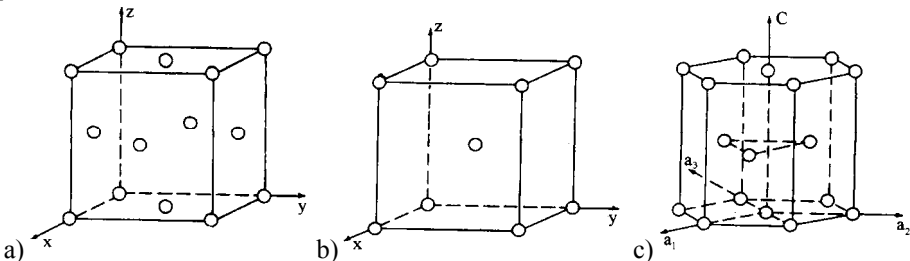
Slika 3.2.4 Četiri koordinatne ose kod heksagonalne kristalne rešetke



Slika 3.2.5 Milerovi indeksi za neke ravni heksagonalne kristalne rešetke.

3.2. Kristalna struktura metala

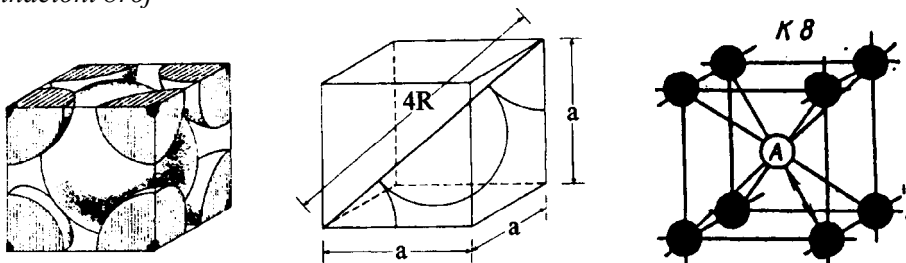
kubnu prostorno centrirana rešetku, kubna površinski-centrirana rešetka, heksagonalna gusto pakovana rešetka



Slika 3.3. Elementarne kristalne rešetke po kojima kristališu metali: (a) kubna prostorno centrirana; (b) kubna površinski centrirana; (c) heksagonalna gusto pakovana

Kubna prostorno-centrirana rešetka

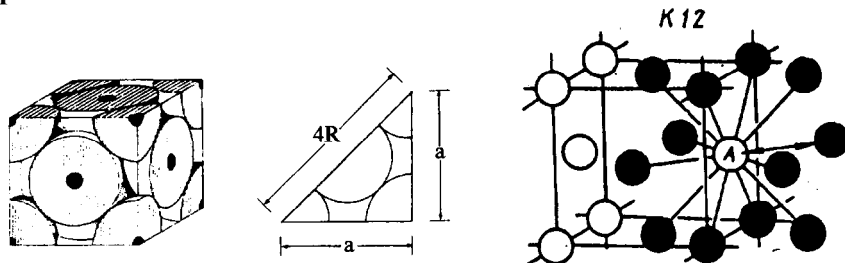
koordinacioni broj



Slika 3.4. Kubna prostorno centrirana rešetka metala

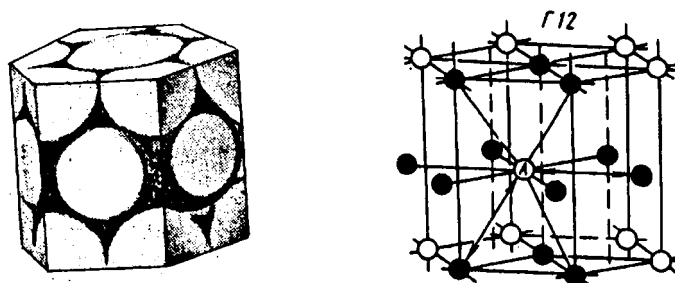
koeficijent ispunjenja rešetke

Kubna površinski centrirana kristalna rešetka



Slika 3.5. Kubna površinski centrirana rešetka metala
koordinacioni broj, koeficijent ispunjenja rešetke

Heksagonalna gusto pakovana kristalna rešetka



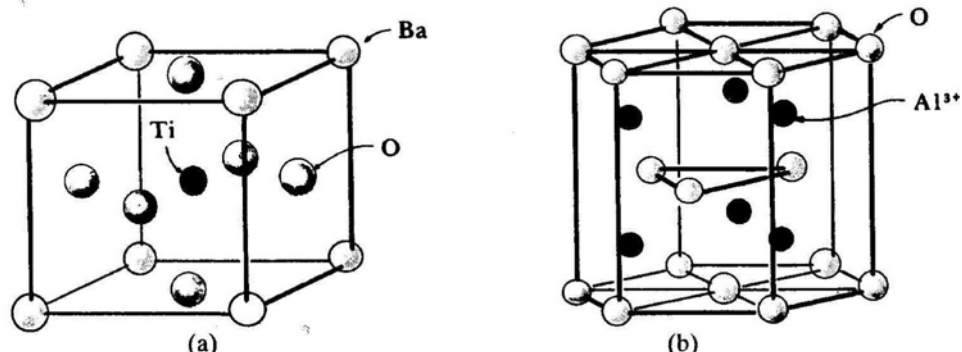
Slika 3.6. Heksagonalna gusto pakovana kristalna rešetka metala

Polimorfija, Alotropija, Anizotropija

Tabela 3.2. Alotropske promene kristalne rešetke nekih metala.

Metal	Kristalna rešetka na sobnoj temperaturi	Na drugoj temperaturi
Kobalt (Co)	(HGP)	KPC ($>427^{\circ}\text{C}$)
Gvožđe (Fe)	(KZC)	KPC ($912^{\circ}\text{-}1394^{\circ}\text{C}$); KZC ($>1394^{\circ}\text{C}$)
Litijum (Li)	(KZC)	HGP ($<-193^{\circ}\text{C}$)
Titan (Ti)	(HGP)	KZC ($>883^{\circ}\text{C}$)
Cirkonijum (Zr)	(HGP)	KZC ($>872^{\circ}\text{C}$)

3.3. STRUKTURA KERAMIČKIH MATERIJALA

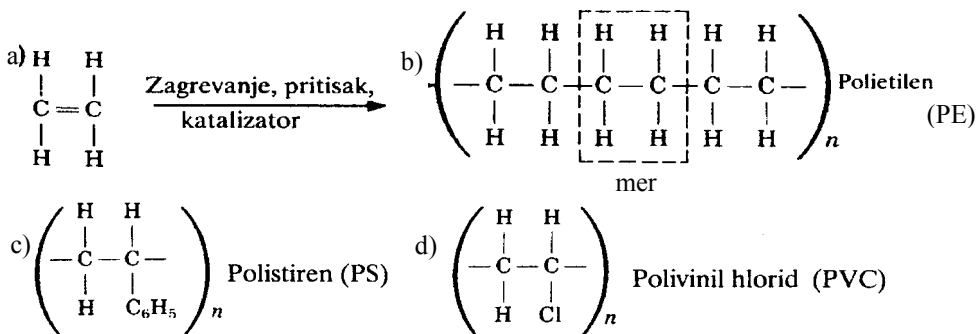


Slika 3.7 Prikaz kristalne strukture keramičkih materijala: (a) BaTiO_3 . i (b) Al_2O_3

Tabela 3.3 Elektronegativnost nekih elemenata

Element	Si	C	Al	O	Zr	N	B
	1.8	2,5	1,5	3,5	1.4	3,0	2,0

3.4. Struktura polimera



Slika 3.8. Osnovne strukture polimernih molekula: a) molekul etilena, b) polietilen, lanac sačinjen od velikog broja molekula etilena, c), polistiren, d) PVC

Molekulska struktura

Linearni polimeri

Razgranati polimeri

Poprečno povezani polimeri

Umreženi polimeri

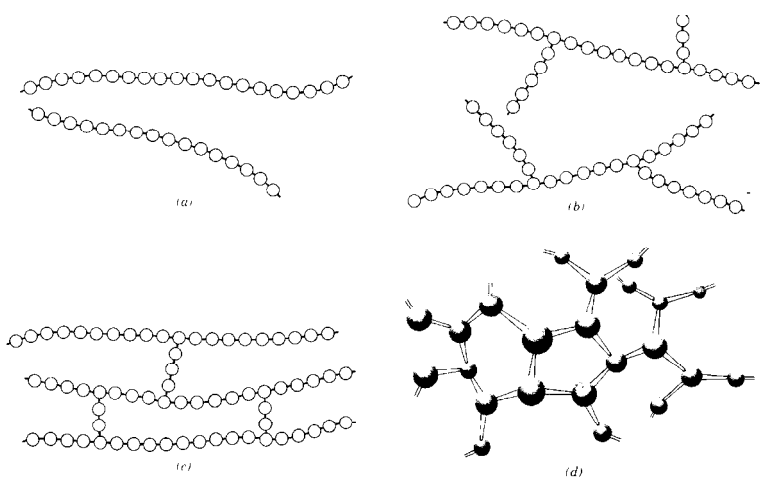
Slika. Šematski prikaz:

a) linearni polimer;

b) razgranati polimer;

c) poprečno povezani polimer;

d) umreženi polimer

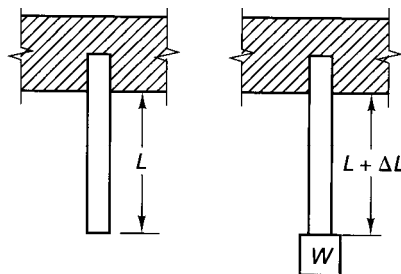


4. PONAŠANJE MATERIJALA U USLOVIMA DELOVANJA MEHANIČKOG OPTEREĆENJA

mehanička ispitivanja

4.1. Napon i deformacija

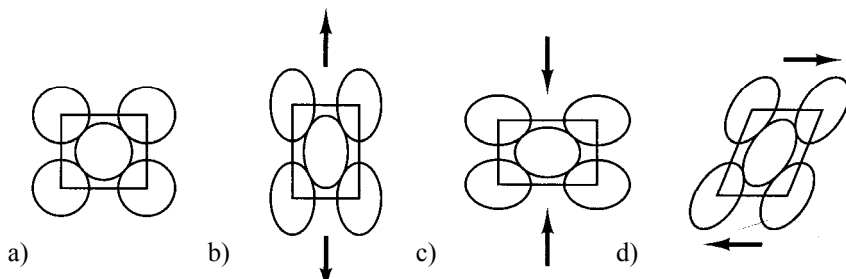
jedinično izduženje



Slika 4.1. Zatezno opterećenje i rezultujuće izduženje

elastična i plastična deformacija

Napon, zatezni, pritisni, smicajni, deformacije



Slika 4.2. Deformacija kristalne rešetke pri dejstvu različitih vrsta sila;
a) neopterećena; b) zatezanje; c) pritisak; d) smicanje

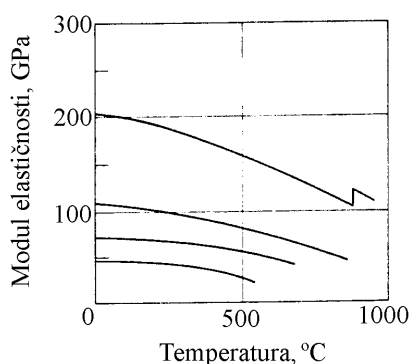
statičko opterećenje, statičke metode

dinamičko opterećenje, dinamičke metode

Tabela 4.1. Vrste sile, osobine koje se određuju i primena

Karakter dejstva sile	Vrsta sile	Osobine	Primena
zatezanje	statička	zatezna čvrstoća, izduženje, suženje	svi materijali izuzev kamena
	statička dugotrajna	trajna čvrstoća, trajno izduženje, granica puzanja	metalni materijali na povišenim temperaturama
	udarna	specifičan rad udara pri lomu	retko
	dinamička	dinamička čvrstoća	svi materijali izuzev kamena
pritisak	statička	pritisna čvrstoća skraćenje proširenje	građevinski materijali, metali za ležišta
	udarna	specifičan rad udara pri lomu	retko u primeni
	na izvijanje	čvrstoća na izvijanje	delovi konstrukcija
	dinamička	dinamička čvrstoća	sivi liv
savijanje	statička	savojna čvrstoća, ugib pri lomu, krutost	građevinski materijal drvo, sivi liv
	udarna	specifičan rad savijanja pri lomu	veštački materijali drvo, Zn i legure, odlivci od sivog liva
	udarna pri zarezanoj epruveti	žilavost	drvo, plastični materijali, metali
	dinamička	dinamička savojna čvrstoća	metalni materijali
uvijanje	statička	uvojna čvrstoća	retko
	udarna	specifičan rad uvojanja pri lomu	alatni čelici
	dinamička	dinamička uvojna čvrstoća	metalni materijali
smicanje	statička	smicajna čvrstoća	sivi liv, drvo, čelik

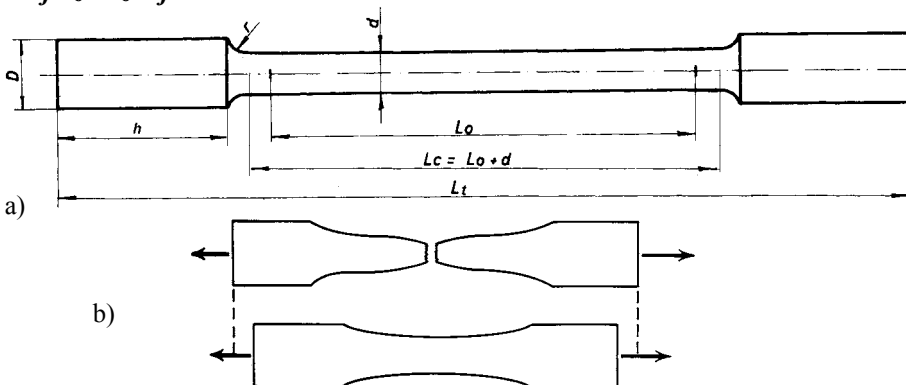
Elastične deformacije Modul elastičnosti



Slika 4.3. Krive zavisnosti modula elastičnosti E - temperature T , za neke metale

4.1.1. Statičke metode

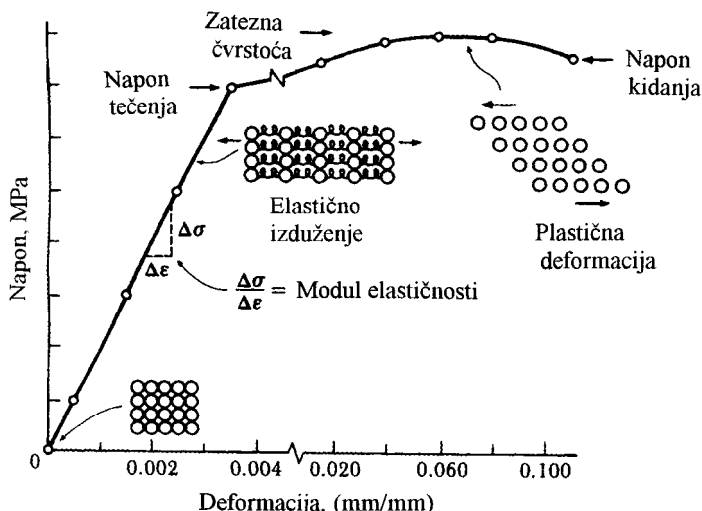
Ispitivanje zatezanjem



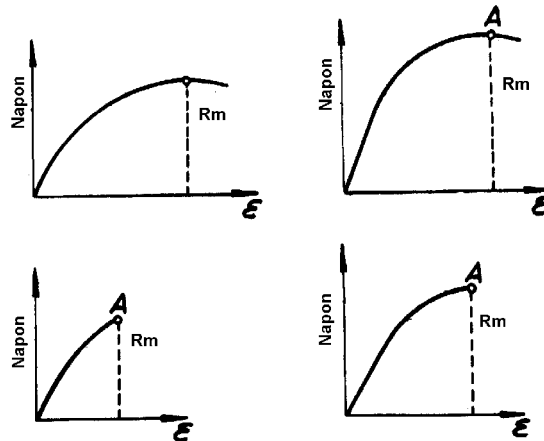
Slika 4.5. Proporcionalna epruveta za ispitivanje zatezanjem a);
Lokalizovanje deformacije na mestu loma b)

Tabela 4.2. Podela i opšte dimenzione karakteristike epruveta za ispitivanje zatezanjem

Vrsta epruvete	oblik poprečnog preseka	površina poprečnog preseka, S_o	koefficijent proporcionalnosti L_o prema S_o	merna dužina, L_o
proporcionalna duga epruveta	kružni d	$(d)^2 \pi / 4$	10	10d
proporcionalna kratka epruveta	kružni d	$(d)^2 \pi / 4$	5	5d
proporcionalna duga epruveta	kvadratni, pravougaoni	a^2 $a b$	11,3	$11,3\sqrt{S_o}$
proporcionalna kratka epruveta	kvadratni, pravougaoni	a^2 $a b$	5,65	$5,65\sqrt{S_o}$
tehničke epruvete	bez posebne pripreme, nema definisanih odnosa površine i dužine epruvete, ispitivanje gotovih elemenata: žica, cevi, lanaca			



Slika 4.7. Dijagram napon – deformacija za meki čelik

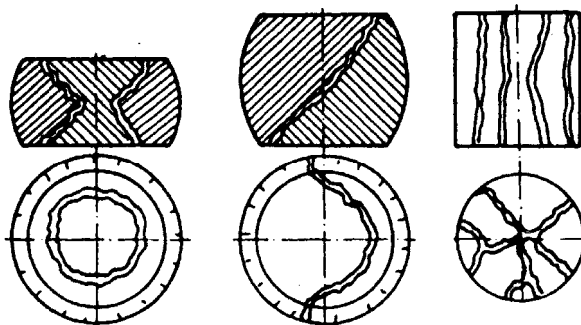


Slika 4.8. Opšti tipovi dijagrama napon-deformacija

zatezna čvrstoća, granica (napon) tečenja, granica elastičnosti, granica proporcionalnosti, modul elastičnosti, trenutno izduženje, jedinično izduženje, procentualno izduženje, procentualno suženje

Ispitivanje na pritisak

granica gnječeња, pritisna čvrstoća, skraćenje, jedinično skraćenje, raširenje



Slika 4.9. Šematski prikaz loma epruveta pri ispitivanju na pritisak

Ispitivanje tvrdoće

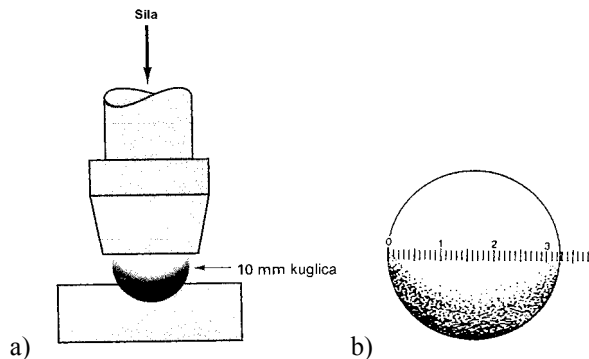
Brinelova, Vikersova, Rokvelova i Knupova metoda

Šorova – skleroskopska metoda, i Kirnerova – duroskopska metoda

Tabela 4.3. Osnovne karakteristike metoda ispitivanje tvrdoće

Naziv metode	Utiskivač	Oblik utiskivača		Opterećenje	Obrazac za izračunavanje vrednosti tvrdoće
		Pogled sa strane	Pogled odozgo		
Brinelova	Kuglica od čelika ili tvrdog metala prečnika 1, 2, 2,5, 5 i 10 mm			P	$HB = \frac{2P}{\pi D(D - \sqrt{D^2 - d^2})}$
Vikersova	Dijamantska piramida			P	$HV = 1.72 \frac{P}{d_1^2}$
Mikrotvrdoča po Knupu	Dijamantska piramida			P	$HK = 14.2 \frac{P}{l^2}$
Rokvelova	A C D B F G E	Dijamantska kupa Čelična kuglica prečnika 1/16in Čelična kuglica prečnika 1/8in		60 kg 150 kg 100 kg 100 kg 60 kg 150 kg 100 kg	HRA= } HRC= } 100 - 500t HRD= } HRB= } HRF= } HRG= } 130 - 500t HRE= }

Metoda po Brinelu

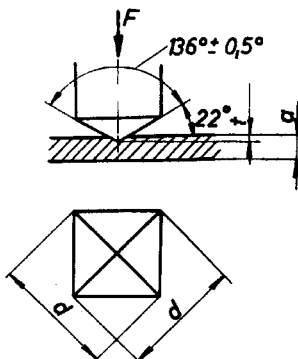


Slika 4.10. Šematski prikaz utiskivanja (a) i površinski izgled otiska (b)

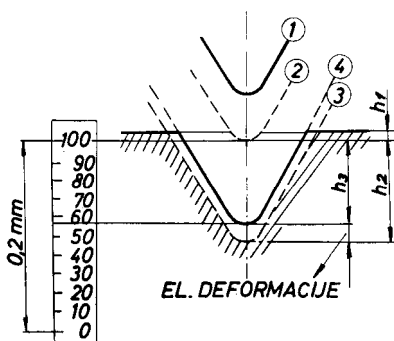
Tabela 4.4: Izbor veličina sile za Brinelovu metodu

Vrsta materijala	Veličina sile
Sivi liv i čelik	$30 D^2$
Sivi liv i tvrde legure bakra	$10 D^2$
Meke legure Cu, Al i legura za ležišta	$5 D^2$
Beli metali i meke legure	$2,5 D^2$
Olovo i meke legure	D^2

Metoda po Vickersu



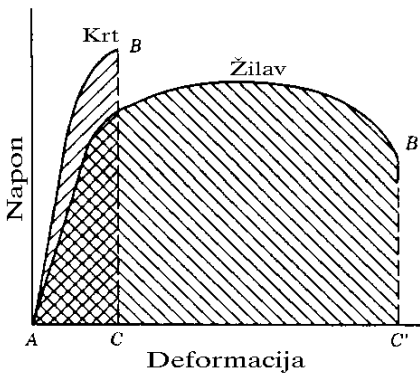
Slika 4.11. Utiskivač i otisak po Vickersovoj metodi



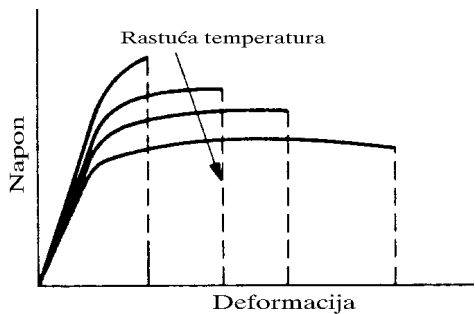
Slika 4.12. Faze utiskivanja kod Rokvel C metode

Metoda po Rokvelu

4.1.2. Dinamička ispitivanja, žilavost



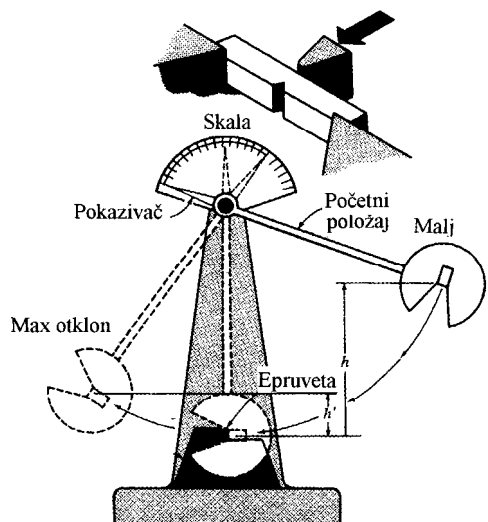
Slika 4.13. Šematski prikaz krivih napon - izduženje za krti i plastičan materijal

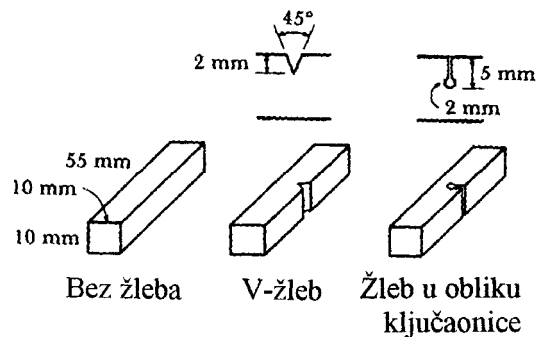


Slika 4.14. Uticaj temperature na krive napon - izduženje

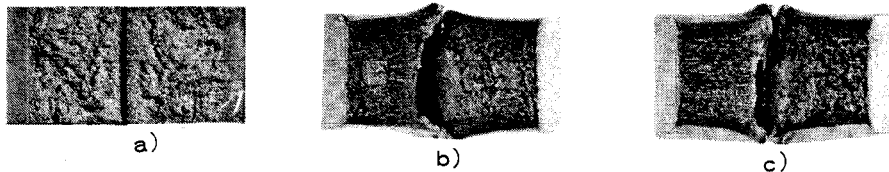
Ispitivanje udarne žilavosti

Slika 4.15. Šarpijkevo klatno





Slika 4.16. Epruvete za ispitivanje žilavosti



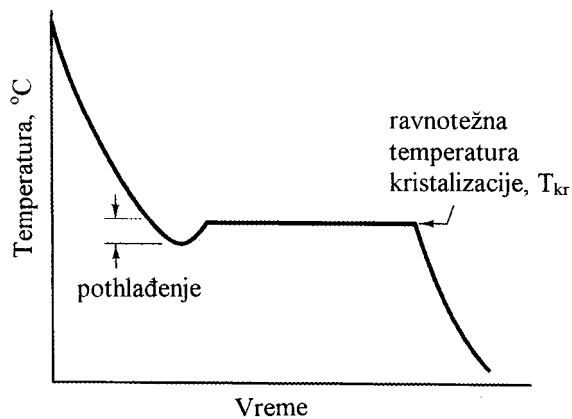
Slika 4.17. Izgled prelomne površine Šarpijeve epruvete a) krti lom;
b) mešovit lom; c) žilav lom

4.2. KRISTALIZACIJA METALA

kristalizacija

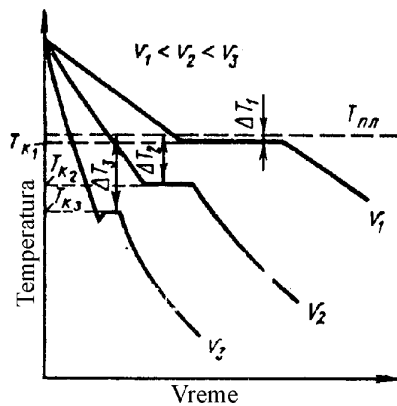
kriva hlađenja

temperatura kristalizacije



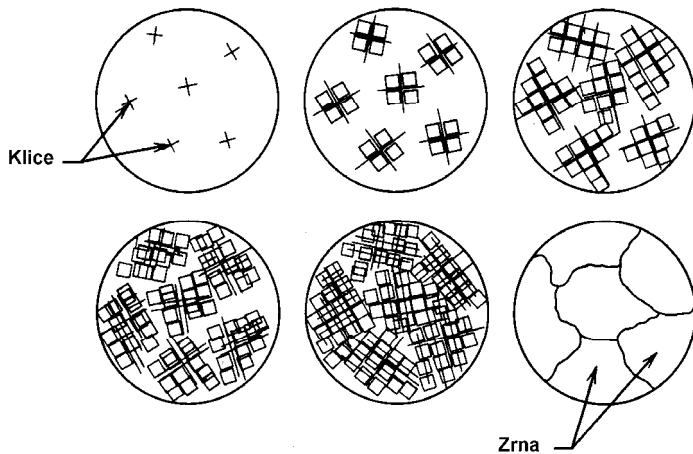
Slika 4.3. Kriva hlađenja čistog metala

stepen potohlađenja

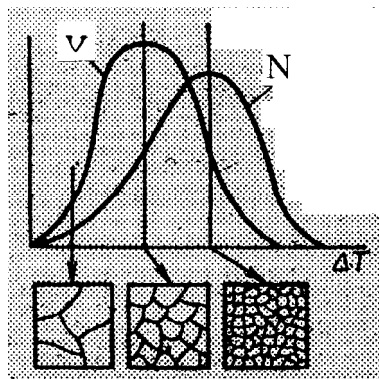


Slika 2.3.7 Kriva hlađenja pri kristalizaciji čvrstog tela

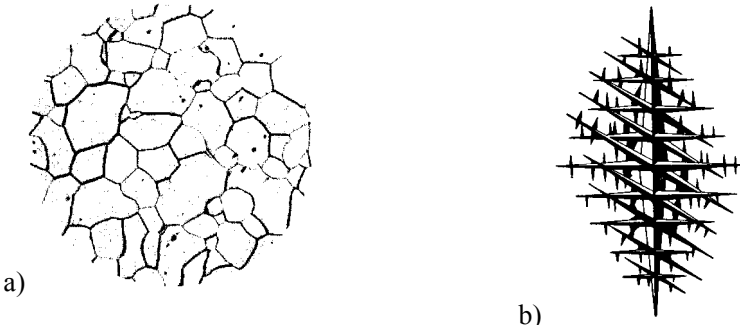
granica zrna, polikristalna struktura



Slika 4.4. Šematski prikaz procesa kristalizacije



Slika 4.5. Zavisnost veličine zrna od broja centara kristalizacije (N) i brzine rasta kristala (V)



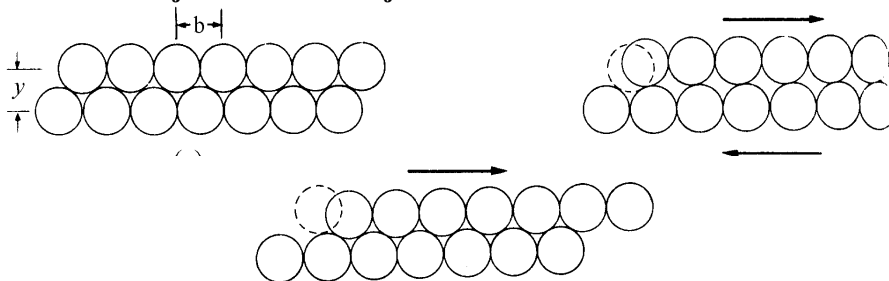
Slika 4.6. Izgled kristalnih zrna: a) poligonalna zrna; b) dendrit

GREŠKE

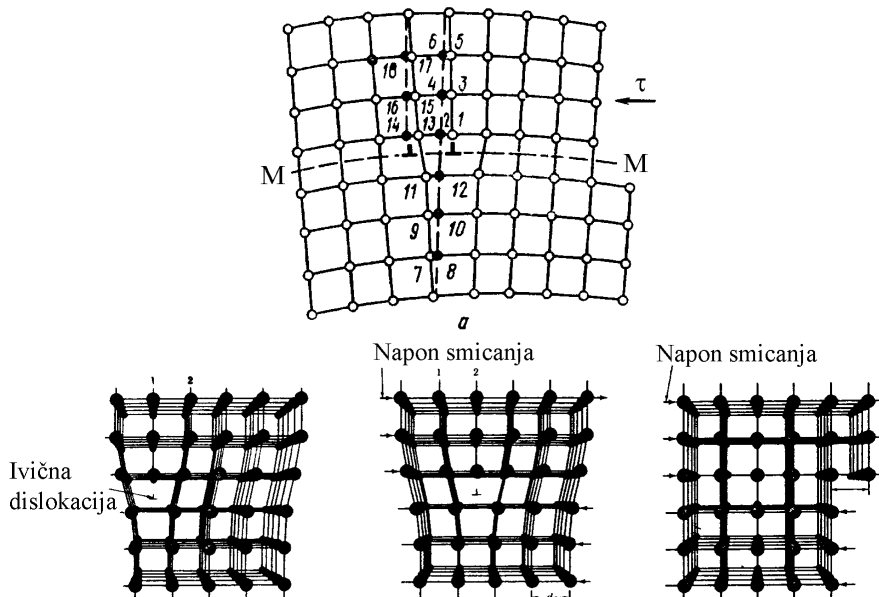
Plastične deformacije kristala

mehanizmi plastičnog deformisanja kristalne strukture

Plastična deformacija kristala klizanjem

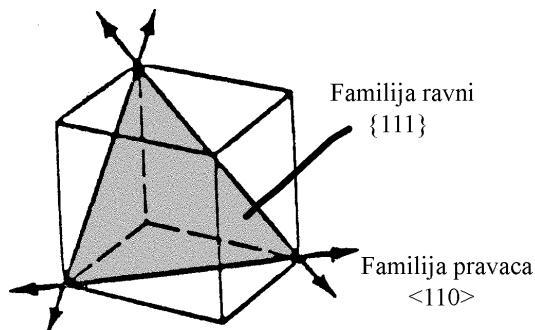


Slika 2.3.14. Prepostavljeni model plastične deformacije kristala klizanjem



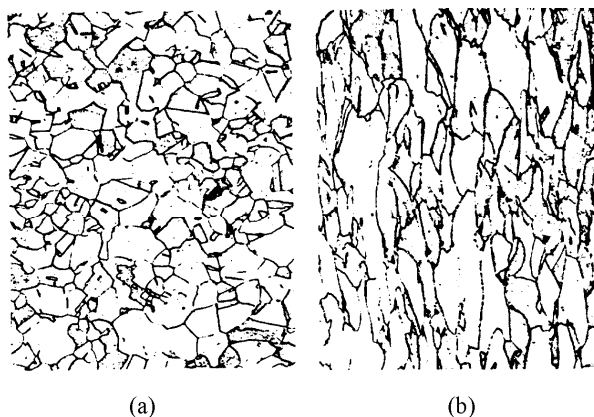
Slika 2.3.15. Kretanje ivične dislokacije: (a) šematski prikaz kretanja dislokacije, (b) faze kretanja dislokacija i njihov izlaz na površinu.

Sistemi klizanja

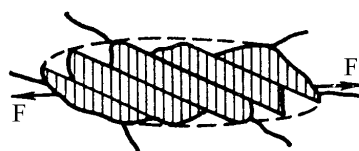


Slika 2.3.16. Sistemi klizanja kod KPC rešetke

Plastična deformacija polikristalnih materijala



Slika 2.3.18 Upoređenje izgleda metalnog zrna polikristalnog materijala, pre i posle plastične deformacije



Slika 2.3.19. Izmena oblika metalnog zrna, kao rezultat klizanja